

2-SC₄H₃CH=NN(H)C₆H₅와 (GaMe₂)₂(2-SC₄H₃CH=NNC₆H₅)₂의 합성과 분자 구조

박권일 · 김용기 · 조성일*

서울시립대학교 공과대학 화학공학과

Synthesis and Molecular Structures of 2-SC₄H₃CH=NN(H)C₆H₅ and (GaMe₂)₂(2-SC₄H₃CH=NNC₆H₅)₂

Keun Il Park, Yong Kie Kim and Sung Il Cho*

Department of Chemical Engineering, The University of Seoul, Seoul, 130-143, Korea

요 약

X-ray 회절법을 이용하여 2-SC₄H₃CH=NN(H)C₆H₅ (C₁₁H₁₀N₂S) 화합물과 (GaMe₂)₂(2-SC₄H₃CH=NNC₆H₅)₂ (C₂₆H₃₀Ga₂N₄S₂) 화합물의 분자 구조가 규명되었다. 2-SC₄H₃CH=NN(H)C₆H₅ 결정학 자료 : orthorhombic space group P2₁2₁2₁, a=6.108(1) Å, b=7.593(1) Å, c=22.356(2) Å, V=1037.1(3) Å³, Z=4, R=0.0613. C₂₆H₃₀Ga₂N₄S₂ 결정학 자료 : monoclinic space group P2₁/n, a=15.996(2) Å, b=17.768(2) Å, c=9.879(3) Å, β=100.07(2)°, V=2764.5(9) Å³, Z=4, R=0.0503.

Abstract

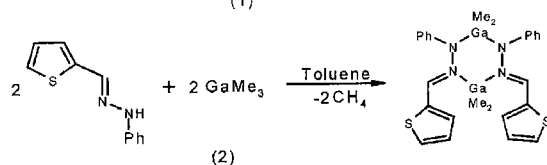
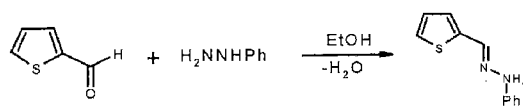
The molecular structures of 2-SC₄H₃CH=NN(H)C₆H₅ (C₁₁H₁₀N₂S) and (GaMe₂)₂(2-SC₄H₃CH=NNC₆H₅)₂ (C₂₆H₃₀Ga₂N₄S₂) have been determined by X-ray diffraction. Crystallographic data for 2-SC₄H₃CH=NN(H)C₆H₅: orthorhombic space group P2₁2₁2₁, a=6.108(1) Å, b=7.593(1) Å, c=22.356(2) Å, V=1037.1(3) Å³, Z=4, R=0.0613. Crystallographic data for (GaMe₂)₂(2-SC₄H₃CH=NNC₆H₅)₂: monoclinic space group P2₁/n, a=15.996(2) Å, b=17.768(2) Å, c=9.879(3) Å, β=100.07(2)°, V=2764.5(9) Å³, Z=4, R=0.0503.

1. 서 론

Ga-N 결합을 가지는 화합물은 wide band gap energy를 가지는 반도체 Gallium Nitride(GaN)의 전구체로서 많은 관심의 대상이 되고 있다. 일반적으로 GaN 원천물질로 사용되는 GaMe₃와 NH₃와 비교하여, Ga-N 결합을 가지고 있는 화합물은 취급이 용이하고 낮은 온도에서도 분해되어 GaN 원천물질로 거동할 수 있다. 특히 전자 제공 치환체를 포함한 질소 리간드는 전자-결핍적인 3족 원소와 배위 공유 결합(coordinative covalent 혹은 dative bond)하여 화학적 안정성 및 특이한 반응성을 보여준다.^{1,2)}

본 연구에서는 2-thiophenecarboxaldehyde와 phenyl-

hydrazine의 탈수 반응으로 Schiff base 리간드 2-SC₄H₃CH=NN(H)C₆H₅가 합성되었고(식 1), 이 리간드와 GaMe₃가 반응하여 (GaMe₂)₂(2-SC₄H₃CH=NNC₆H₅)₂가 합성되었다(식 2). 본 연구진은 X-ray 회절법을 이용하여 리간드와 화합물의 분자 구조를



밝혀 비교하였다.

2. 실험

화합물의 합성은 Shriver 등등에 의하여 보편화된 진공 장치로 질소 기체 분위기에서 수행되었다. Toluene, ethanol 용매는 sodium benzophenone ketyl을 넣고 질소 분위기에서 증류되었다. GaMe₃는 Stem Chemicals Inc.에서 구입되었고, 2-thiophenecarboxaldehyde와 phenylhydrazine는 Aldrich Chemical Co., Inc.에서 구입하여 더 이상 정제 없이 사용되었다.

2-1. 2-SC₄H₃CH=NN(H)Ph의 합성

Ethanol 30 ml가 들어있는 150 ml의 둥근 바닥 플라스크에 2-thiophenecarboxaldehyde(SC₄H₃-CHO) 0.46 ml(5 mmol)를 넣은 후, phenylhydrazine(H₂NNHPh) 0.5 ml (5 mmol)을 상온에서 교반하면서 천천히 적가하였다. 6시간 경과 후 노란색 침전이 생기면, 반응을 종결하고 침전물을 걸러서 *n*-hexane으로 2~3회

Table 1. Crystal data and structure refinement for 2-SC₄H₃CH=NN(H)C₆H₅

Empirical formula	C ₁₁ H ₁₀ N ₂ S
Formula weight	202.27
Temperature	290(2) K
Wavelength	0.7107 Å
Crystal system	Orthorhombic
Space group	<i>P</i> 2 ₁ 2 ₁
Unit cell dimensions	<i>a</i> =6.108(1) Å <i>b</i> =7.593(1) Å <i>c</i> =22.356(2) Å
Volume	1037.1(3) Å ³
Z, Calculated density	4, 1.295 Mg/m ³
Absorption coefficient	0.272 mm ⁻¹
F(000)	424
Crystal size	0.35×0.4×0.3 mm
Theta range for data collection	5.08 to 24.97 deg.
Index ranges	0≤ <i>h</i> ≤7, 0≤ <i>k</i> ≤9, 0≤ <i>l</i> ≤26
No. of reflns measured	1084
No. of parameters	167
Goodness-of-fit on <i>F</i> ²	1.049
Final R indices [<i>I</i> >2σ(<i>I</i>)]	<i>R</i> ₁ =0.0613, <i>wR</i> ₂ =0.1447
R indices (all data)	<i>R</i> ₁ =0.1038, <i>wR</i> ₂ =0.1753
Largest diff. peak and hole	0.251 and -0.333 e.Å ⁻³

Table 2. Crystal data and structure refinement for (GaMe₂)₂(2-SC₅H₃CH=NNC₆H₅)₂

Empirical formula	C ₂₆ H ₃₀ Ga ₂ N ₄ S ₂
Formula weight	602.10
Temperature	290(2) K
Wavelength	0.7107 Å
Crystal system	Monoclinic
Space group	<i>P</i> 2 ₁ / <i>n</i>
Unit cell dimensions	<i>a</i> =15.996(2) Å <i>b</i> =17.768(2) Å <i>β</i> =100.07(2) <i>c</i> =9.879(3) Å
Volume	2764.5(9) Å ³
Z, Calculated density	4, 1.447 Mg/m ³
Absorption coefficient	2.121 mm ⁻¹
<i>T</i> _{max}	0.98
<i>T</i> _{min}	0.67
F(000)	1232
Crystal size	0.4×0.35×0.4 mm
Theta range for data collection	5.05 to 25.21 deg.
Index ranges	-18≤ <i>h</i> ≤18, 0≤ <i>k</i> ≤20, 0≤ <i>l</i> ≤11
No. of reflns measured	4858
No. of parameters	427
Goodness-of-fit on <i>F</i> ²	0.938
Final R indices [<i>I</i> >2σ(<i>I</i>)]	<i>R</i> ₁ =0.0503, <i>wR</i> ₂ =0.0730
R indices (all data)	<i>R</i> ₁ =0.1572, <i>wR</i> ₂ =0.1096
Largest diff. peak and hole	0.434 and 0.322 e.Å ⁻³

Table 3. Atomic coordinates (×10⁴) and equivalent isotropic displacement parameters (Å²×10³) for 2-SC₄H₃CH=NN(H)C₆H₅. *U*_{eq} is defined as one third of the trace of the orthogonalized *U*_{ij} tensor

	<i>x</i>	<i>y</i>	<i>z</i>	<i>U</i> _{eq}
S(1)	1436(3)	2333(3)	1603(1)	68(1)
C(2)	2571(14)	2468(13)	916(4)	71(2)
C(3)	1438(16)	1693(10)	488(4)	70(2)
C(4)	-502(15)	958(11)	716(4)	64(2)
C(5)	-758(10)	1170(9)	1324(3)	49(2)
C(6)	-2507(13)	642(9)	1687(3)	55(2)
N(7)	-2679(9)	1084(7)	2241(3)	54(2)
N(8)	-4458(10)	503(9)	2543(3)	61(2)
C(9)	-4800(10)	1059(9)	3131(3)	47(2)
C(10)	-6752(13)	641(10)	3393(4)	60(2)
C(11)	-7130(14)	1071(12)	3969(4)	72(2)
C(12)	-5592(18)	1933(12)	4295(4)	73(3)
C(13)	-3624(14)	2362(12)	4015(4)	69(2)
C(14)	-3239(11)	1957(9)	3464(3)	52(2)

정도 불순물을 씻어낸 다음 진공하에서 건조하였다. 노란색 고체 상태의 리간드(2-SC₄H₃CH=NN(H)Ph)는 72.3%(731 mg)의 수득률로 얻어졌다.

2-2. (GaMe₂)₂(2-SC₄H₃CH=NNC₆H₅)₂의 합성

두 개의 목이 있는 100 ml 둥근 바닥 플라스크에 2-SC₄H₃CH=NN(H)Ph를 0.41 g(2 mmol)을 넣고 새

로이 증류된 toluene 30 ml를 주입하여 녹였다. 주사기를 이용하여 GaMe₃ 0.97 ml(10 mmol)를 천천히 적가하였다. 용액의 색은 옅은 노란색에서 붉은색으로 변하였다. 이 용액을 8시간 정도 상온에서 교반 후 부피를 적당하게 줄인 다음 *n*-hexane으로 재결정하여 37.2%(221 mg)의 수득률로 붉은색의 화합물 (GaMe₂)₂(2-SC₄H₃CH=NNC₆H₅)₂을 얻었다.

2-3. 결정 구조 실험

합성으로부터 얻어진 화합물들을 생각시켜 N₂ 분위기에서 저온 결정법으로 각각의 단결정을 얻었다. (GaMe₂)₂(2-SC₄H₃CH=NNC₆H₅)₂은 공기에 비교적 민감하여 grease로 밀봉되었고, 내경 0.5 mm 모세관 안에서 X-ray 회절 실험이 수행되었다. 2-SC₄H₃CH=NN(H)Ph는 공기에 안정한 화합물이었다. 각 시료를 0.4 mm×0.4 mm×0.4 mm 이하 크기로 조정하였고, Mo-K α (0.7107 Å) X-ray로 Enraf Nonious CAD4 회절기를 이용하여 290±2 K에서 25개의 회절 반점에 대하여 θ 배향을 최소 자동화하여 단위 세포 상수를 정하였다.³⁾ $1 \leq \theta \leq 26$ 범위에 있는 회절 반점들을 ω -2 θ (ω -scan width=0.8+0.35 tan θ) 주사 방식으로 측정하였다. 3개의 표준 반점을 매 500초 마다 세기 변화를 측정하고, 매 200개의 회절 반점을 측정한 이후 배향 변화를 관측한 결과, 모두 5% 이하의 강도 변화를 나타내었다. 측정된 강도 자료에 대하여 Lp

Table 4. Atomic coordinates ($\times 10^4$) and equivalent isotropic displacement parameters ($\text{\AA}^2 \times 10^3$) for (GaMe₂)₂(2-SC₄H₃CH=NNC₆H₅)₂. U_{eq} is defined as one third of the trace of the orthogonalized U_{ij} tensor

	<i>x</i>	<i>y</i>	<i>z</i>	U_{eq}
Ga(1)	3623(1)	2553(1)	1417(1)	40(1)
S(1)	4963(1)	4374(1)	1589(3)	60(1)
C(2)	5234(7)	5188(6)	2390(14)	74(3)
C(3)	5722(8)	5094(7)	3609(16)	89(5)
C(4)	5897(7)	4357(7)	3957(14)	67(3)
C(5)	5544(4)	3870(5)	2936(9)	45(2)
C(6)	5682(5)	3089(5)	2951(9)	42(2)
N(7)	5381(3)	2597(4)	2034(6)	40(2)
N(8)	4733(3)	2857(3)	957(6)	37(2)
C(9)	4969(5)	2814(4)	-342(9)	42(2)
C(10)	5796(7)	2717(6)	-526(11)	67(3)
C(11)	5995(10)	2672(6)	-1822(14)	76(3)
C(12)	5407(11)	2744(6)	-2959(15)	93(4)
C(13)	4575(11)	2855(6)	-2789(12)	79(4)
C(14)	4359(6)	2891(5)	-1522(9)	55(2)
C(15)	2624(7)	2936(8)	165(14)	60(3)
C(16)	3677(8)	2733(9)	3404(11)	58(3)
Ga(2)	5613(1)	1470(1)	2255(1)	46(1)
S(1')	2922(1)	1083(1)	-1662(3)	63(1)
C(2')	2712(9)	888(6)	-3388(11)	80(3)
C(3')	3414(8)	775(6)	-3920(12)	76(3)
C(4')	4144(6)	837(5)	-2920(10)	58(3)
C(5')	3994(5)	1003(4)	-1620(9)	47(2)
C(6')	4645(5)	1089(4)	-448(9)	45(2)
N(7')	4590(4)	1261(3)	797(6)	40(2)
N(8')	3767(3)	1468(3)	1056(6)	38(1)
C(9')	3358(5)	892(5)	1656(8)	43(2)
C(10')	2590(5)	1057(6)	2052(9)	53(2)
C(11')	2147(7)	520(7)	2573(11)	66(3)
C(12')	2404(8)	-186(7)	2724(12)	74(3)
C(13')	3176(8)	-354(7)	2329(12)	76(4)
C(14')	3648(7)	157(5)	1804(9)	51(2)
C(15')	5339(9)	1178(8)	4010(10)	66(3)
C(16')	6643(7)	1189(9)	1591(15)	68(3)

Table 5. Anisotropic displacement parameters ($\text{\AA}^2 \times 10^3$) for 2-SC₄H₃CH=NN(H)C₆H₅. The anisotropic displacement factor exponent takes the form: $-2\pi^2 [h^2 a^{*2} U^{11} + \dots + 2hka^*b^* U_{12}]$

	U_{11}	U_{22}	U_{33}	U_{23}	U_{13}	U_{12}
S(1)	50(1)	83(1)	72(1)	-12(1)	-9(1)	-6(1)
C(2)	46(4)	82(6)	85(6)	6(5)	15(4)	-18(5)
C(3)	80(5)	70(5)	59(4)	0(4)	4(5)	-10(5)
C(4)	74(5)	60(5)	57(5)	-10(4)	-13(4)	0(5)
C(5)	43(3)	46(4)	59(4)	-2(3)	-12(3)	2(3)
C(6)	54(4)	46(4)	64(5)	-12(4)	-20(4)	-7(4)
N(7)	42(3)	61(3)	59(3)	2(3)	-16(3)	0(3)
N(8)	40(3)	80(4)	65(4)	-10(3)	-7(3)	-15(3)
C(9)	38(3)	47(4)	55(4)	2(3)	-5(3)	7(3)
C(10)	55(4)	59(5)	66(5)	4(4)	-4(4)	-6(4)
C(11)	51(5)	72(6)	94(6)	30(5)	13(5)	5(4)
C(12)	98(7)	72(6)	49(4)	-1(4)	0(5)	21(6)
C(13)	61(5)	71(6)	76(5)	-10(5)	-32(5)	0(5)
C(14)	32(3)	59(4)	66(5)	9(4)	5(4)	0(3)

Table 6. Anisotropic displacement parameters (Å²×10³) for (GaMe₂)₂(2-SC₄H₃CH=NNC₆H₅)₂. The anisotropic displacement factor exponent takes the form : -2π²[h²a*²U₁₁+ ... +2hka*b*U₁₂]

	U ₁₁	U ₂₂	U ₃₃	U ₂₃	U ₁₃	U ₁₂
Ga(1)	37(1)	48(1)	34(1)	-3(1)	5(1)	5(1)
S(1)	64(1)	48(1)	64(2)	0(1)	2(1)	4(1)
C(2)	66(7)	50(7)	102(10)	-2(7)	4(7)	5(5)
C(3)	91(9)	48(8)	124(13)	-39(8)	7(8)	-13(7)
C(4)	62(7)	73(9)	61(8)	-11(7)	-3(6)	6(6)
C(5)	34(4)	53(6)	44(6)	-6(5)	-1(4)	1(4)
C(6)	42(5)	51(6)	31(5)	-2(4)	-2(4)	7(4)
N(7)	36(3)	60(4)	24(4)	-1(4)	5(3)	6(3)
N(8)	36(3)	48(4)	24(4)	1(3)	-4(3)	0(3)
C(9)	53(5)	35(4)	40(6)	-3(4)	10(4)	-8(4)
C(10)	64(7)	91(8)	45(7)	-5(6)	9(6)	-7(6)
C(11)	98(9)	69(7)	70(9)	14(6)	43(8)	-3(7)
C(12)	150(13)	89(9)	54(9)	-2(7)	56(10)	-14(8)
C(13)	127(12)	68(7)	41(8)	-1(6)	11(9)	-33(8)
C(14)	70(7)	58(5)	36(6)	3(4)	7(5)	-11(5)
C(15)	54(6)	62(8)	61(8)	10(7)	4(6)	18(5)
C(16)	63(7)	75(8)	40(6)	-21(6)	16(5)	-3(7)
Ga(2)	47(1)	50(1)	40(1)	-5(1)	4(1)	7(1)
S(1')	50(1)	80(2)	58(2)	-17(1)	2(1)	7(1)
C(2')	75(8)	104(9)	54(7)	-13(6)	-10(7)	-1(7)
C(3')	85(8)	96(9)	39(7)	-7(6)	-8(6)	17(6)
C(4')	60(6)	69(6)	48(6)	-10(5)	14(5)	0(5)
C(5')	65(5)	43(5)	35(5)	-11(4)	14(4)	-4(4)
C(6')	50(5)	42(5)	45(6)	-9(4)	11(5)	-4(4)
N(7')	46(4)	42(4)	31(4)	-8(3)	5(3)	0(3)
N(8')	35(3)	48(4)	30(4)	-3(3)	6(3)	3(3)
C(9')	39(5)	57(6)	28(5)	-4(4)	-5(4)	4(4)
C(10')	47(6)	54(6)	58(7)	-4(5)	12(5)	-5(5)
C(11')	50(6)	76(9)	74(8)	5(6)	16(6)	-15(6)
C(12')	73(8)	71(8)	80(8)	5(7)	16(6)	-27(7)
C(13')	97(10)	42(7)	85(9)	1(6)	2(7)	4(7)
C(14')	58(6)	45(6)	53(6)	1(5)	14(5)	0(5)
C(15')	83(8)	88(9)	22(5)	0(6)	-7(5)	7(7)
C(16')	54(7)	88(10)	63(9)	-10(7)	13(6)	13(7)

Table 7. Hydrogen coordinates (×10⁴) and isotropic displacement parameters (Å²×10³) for 2-SC₄H₃CH=NN(H)C₆H₅

	x	y	z	U(eq)
H(2)	3630(10)	2950(7)	860(2)	29(16)
H(3)	1810(14)	1500(10)	40(4)	100(3)
H(4)	-1050(9)	390(7)	530(2)	10(15)
H(6)	-3240(8)	-40(6)	1551(19)	4(12)
H(8)	-5220(15)	-230(10)	2350(3)	70(3)
H(10)	-7470(11)	-80(8)	3190(2)	31(17)
H(11)	-8300(15)	640(10)	4140(4)	90(3)
H(12)	-5660(13)	2600(10)	4600(3)	80(3)
H(13)	-2920(11)	3000(9)	4190(3)	40(2)
H(14)	-2270(7)	2180(6)	3295(17)	0(11)

Table 8. Hydrogen coordinates (×10⁴) and isotropic displacement parameters (Å²×10³) for (GaMe₂)₂(2-C₄H₃CH=NNC₆H₅)₂

	x	y	z	U(eq)
H(2)	4940(5)	5650(5)	2000(9)	70(3)
H(3)	5900(4)	5430(3)	4070(6)	20(2)
H(4)	6150(5)	4150(5)	4590(8)	30(3)
H(6)	6080(4)	2890(3)	3820(8)	40(2)
H(10)	6150(3)	2720(3)	110(6)	1(17)
H(11)	6500(8)	2430(7)	-1790(14)	170(6)
H(12)	5460(5)	2740(5)	-3920(10)	90(3)
H(13)	4190(4)	2890(4)	-3460(7)	30(2)
H(14)	3700(4)	3020(3)	-1480(6)	32(16)
H(15A)	2220(6)	2980(6)	620(11)	130(4)
H(15B)	2540(6)	2660(5)	-520(10)	90(4)
H(15C)	2630(4)	3480(5)	-110(8)	60(3)
H(16A)	3490(9)	2410(8)	3800(15)	210(8)
H(16B)	3330(6)	3040(5)	3550(10)	80(4)
H(16C)	4030(8)	3020(7)	3910(13)	100(6)
H(2')	2160(6)	840(5)	-3850(11)	130(4)
H(3')	3450(5)	670(5)	-4780(9)	80(3)
H(4')	4660(4)	810(3)	-3090(7)	30(2)
H(6')	5310(5)	1020(4)	-650(8)	70(2)
H(10')	2430(4)	1520(3)	1920(6)	18(19)
H(12')	2180(6)	-580(6)	2930(11)	100(4)
H(13')	3350(4)	-750(4)	2480(8)	30(3)
H(14')	4100(6)	80(5)	1510(10)	60(4)
H(15A')	4840(7)	1340(6)	4200(11)	100(5)
H(15B')	5600(4)	1300(4)	4760(8)	30(2)
H(15C')	5510(7)	700(7)	4450(13)	140(5)
H(16A')	6990(6)	1580(5)	1690(11)	120(4)
H(16B')	6610(6)	1110(5)	780(12)	90(4)
H(16C')	6880(5)	740(4)	1870(8)	70(3)

인자를 보정하고 구조 인자로 변환시켜⁴⁾ 구조 해석 및 정밀화 작업에 이용하였다. (GaMe₂)₂(2-SC₄H₃CH=NNC₆H₅)₂는 Ψ scan 회절점들로 흡수 보정되었다.

수소를 제외한 모든 원자들은 직접법(SHELX 86)⁵⁾으로 개략적인 위치가 결정되었으며 비등방성 완전 행렬로 정밀화되었다(SHELX 97).⁶⁾ 수소 원자들의 위치는 이상적인 기하 구조에 근거하여 계산되었다.

Table 9. Least-squares planes (x , y , z in crystal coordinates) and deviations from them (* indicates atoms used to define the plane for $(\text{GaMe}_2)_2(2\text{-SC}_4\text{H}_3\text{CH}=\text{NNC}_6\text{H}_5)_2$): $-1.86(3)x + 5.95(5)y + 9.29(1)z = 2.05(2)$

*	0.105(1)	Ga1
*	-0.133(1)	Ga2
*	0.376(4)	N7
*	-0.348(3)	N8
	-1.421(7)	N7'
	-0.903(8)	N8'

수소 원자들은 등방적으로, 비수소(non-hydrogen) 원자들은 비등방적으로 정밀화가 반복되었다. 각 화합물의 결정 자료와 결정 구조 정밀화 결과는 Table 1과 2, 비수소 원자 좌표들은 Table 3과 4, 비등방적 온도 인자들은 Table 5과 6, 수소 좌표는 Table 7과 8, $(\text{GaMe}_2)_2(2\text{-SC}_4\text{H}_3\text{CH}=\text{NNC}_6\text{H}_5)_2$ 의 최소 자승 평면과 최소 자승 평면으로부터 변화 값들은 Table 9에 나타내었다.

3. 결과 및 고찰

$2\text{-SC}_4\text{H}_3\text{CH}=\text{NN}(\text{H})\text{C}_6\text{H}_5$ 및 $(\text{GaMe}_2)_2(2\text{-SC}_4\text{H}_3\text{CH}=\text{NNC}_6\text{H}_5)_2$ 의 원자 번호 및 ORTEP⁷⁾ 그림은 Fig. 1과 2에 나타나 있다. Table 10에는 중요한 결합길이 (bond distance), 결합각(bond angle), 그리고 비틀림 각(torsion angle)들이 나타나 있다.

Fig. 1에서 $2\text{-SC}_4\text{H}_3\text{CH}=\text{NN}(\text{H})\text{C}_6\text{H}_5$ 분자 구조를 C(6) N(7) 이중결합 중심으로 보았을 때 이 분자는 *anti-E* conformation(C(5) C(6) N(7) N(8): $179.4(6)^\circ$)을 나타내는 비틀림각을 보여주고 있으나, Fig. 2에서는 $(\text{GaMe}_2)_2(2\text{-SC}_4\text{H}_3\text{CH}=\text{NNC}_6\text{H}_5)_2$ 분자 구조가 C(5) C(6) N(7) N(8): $9.5(12)^\circ$, C(5') C(6') N(7') N(8'): $6.5(12)^\circ$ 의 비틀림각들을 나타내어 *syn-Z* conformation을 보여주고 있다. 이와 같은 conformation 변화는 N(7) N(8) 결합길이가 $2\text{-SC}_4\text{H}_3\text{CH}=\text{NN}(\text{H})\text{C}_6\text{H}_5$ 내에서는 $1.354(8)$ Å, $(\text{GaMe}_2)_2(2\text{-SC}_4\text{H}_3\text{CH}=\text{NNC}_6\text{H}_5)_2$ 내에서는 $1.426(7)$ Å 및 $1.432(7)$ Å로 약간 증가함을 설명해 준다. 이와 같은 현상은 N(7) N(8)와 N(7') N(8')에 결합한 thiopene과 벤젠 고리의 상호 반발력이 그 원인으로 추정된다.

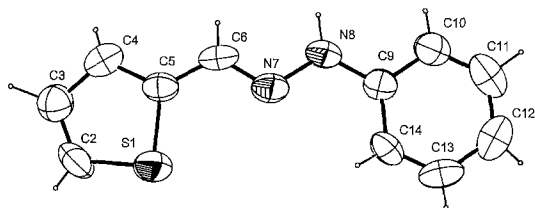


Fig. 1. An ORTEP-III drawing of $2\text{-SC}_4\text{H}_3\text{CH}=\text{NN}(\text{H})\text{C}_6\text{H}_5$ with the atomic numbering scheme. The displacement ellipsoids are drawn on the 30% probability. H atom are drawn as small circles of arbitrary radii.

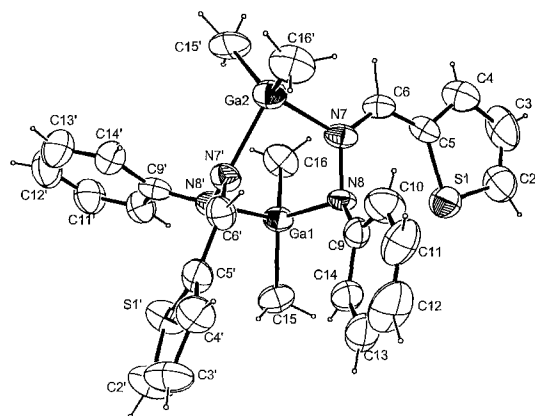


Fig. 2. An ORTEP-III drawing of $(\text{GaMe}_2)_2(2\text{-SC}_4\text{H}_3\text{CH}=\text{NNC}_6\text{H}_5)_2$ with the atomic numbering scheme. The displacement ellipsoids are drawn on the 30% probability. H atom are drawn as small circles of arbitrary radii.

$(\text{GaMe}_2)_2(2\text{-SC}_4\text{H}_3\text{CH}=\text{NNC}_6\text{H}_5)_2$ 분자 구조는 6개의 원자들{N(7), N(8), Ga(1), N(8'), N(7'), Ga(2)}이 6각 고리를 이루면서 일그러진 boat conformation을 보여주고 있다. Table 9에서, Ga(1), Ga(2), N(7), N(8) 원자들을 최소 자승 평면으로 설정하였을 경우, 이 평면으로부터 N(7) 원자는 $0.376(4)$ Å, N(8) 원자는 $0.348(4)$ Å 벗어나 있어 이 평면이 튀틀려 있음을 알 수 있고, N(7') 원자는 $1.422(7)$ Å, N(8') 원자는 $0.904(8)$ Å 만큼 동일 방향으로 상당히 벗어나 있어 boat conformation임을 확인할 수 있다.

$(\text{GaMe}_2)_2(2\text{-SC}_4\text{H}_3\text{CH}=\text{NNC}_6\text{H}_5)_2$ 에서 Ga(1), Ga(2)와 질소와의 결합길이가 dimethyl의 결합길이 보다 약간 긴 것을 알 수 있다(Ga N의 평균 결합길이 : 2.01 Å, Ga C의 평균 결합길이 : 1.95 Å).

Table 10. Selected geometric parameters for 2-SC₄H₃CH=NN(H)C₆H₅ and (GaMe₂)₂(2-SC₄H₃SCH=NNC₆H₅)₂

	Bond distances (Å)	Bond angles (°)	Torsion angles (°)
2-SC ₄ H ₃ CH=NN(H)C ₆ H ₅	C5-C6: 1.401(10)	N7-C6-C5: 123.1(7)	S1-C5-C6-N7: 4.9(10)
	C6-N7: 1.289(9)	C6-N7-N8: 117.4(6)	C5-C6-N7-N8: 179.4(6)
	N7-N8: 1.354(8)	C7-N8-C9: 119.4(6)	C6-N7-N8-C9: -175.2(6)
	N8-C9: 1.398(8)	C10-C9-N8: 117.6(7)	N7-N8-C9-C14: -10.7(9)
(GaMe ₂) ₂ (2-SC ₄ H ₃ CH=NNC ₆ H ₅) ₂	C5-C6: 1.405(10)	C15-Ga1-C16: 117.4(6)	S1-C5-C6-N7: -4.0(13)
	C5'-C6': 1.421(10)		S1'-C5'-C6'-N7': -2.1(13)
	C6-N7: 1.291(8)	N8-Ga1-N8': 95.0(2)	C5-C6-N7-N8: -9.5(12)
	C6'-N7': 1.285(9)		C5'-C6'-N7'-N8': -6.5(12)
	N7-N8: 1.426(7)	C15'-Ga2-C16': 125.0(6)	C6-N7-N8-C9: 117.5(7)
	N7'-N8': 1.432(7)		C6'-N7'-N8'-C9': 101.7(7)
	N8-N9: 1.402(9)	N7'-Ga2-N7: 89.7(2)	C6-N7-Ga2-C16': -88.1(7)
	N8'-C9': 1.400(9)		C6-N7-Ga2-C15': 51.8(7)
	Ga1-N8: 1.985(6)	C6-N7-N8: 115.9(6)	C16'-Ga2-N7'-N6': -10.7(8)
	Ga1-N8': 1.982(6)	C6-N7-Ga2: 123.5(5)	C15'-Ga2-N7'-C6': -150.1(7)
	Ga1-C15: 1.964(10)	Ga2-N7-N8: 119.6(4)	C9-N8-Ga1-C15: -48.1(8)
	Ga1-C16: 1.976(10)	C6'-N7'-N8': 116.8(6)	C7-N8-Ga1-C16: 41.7(6)
	Ga2-N7: 2.041(6)	C6'-N7'-Ga2: 122.9(5)	C15-Ga1-N8'-C9': -86.0(7)
	Ga2-N7': 2.017(6)	Ga2-N7'-N8': 118.8(4)	C16-Ga1-N8'-C9': 44.6(7)
	Ga2-C15': 1.932(10)		
	Ga2-C16': 1.941(10)		

참고문헌

- 1) Lappert, M. F., Sanger, A. R., Srivastava, R. C. and Power, P. P., *Metal and Metalloid Amides*, Ellis-Harwood, Chichester, U.K. (1980).
- 2) Nakamura, S. and Fasol, G. *The blue Laser Diode*, Springer, Berlin (1977).
- 3) Enraf-Nonius, *CAD4 software, version 5.0. Enraf-Nonius, Delft*, The Netherlands (1989).
- 4) Hall, S. R., Flack, H. D. and Stewart, J. M., *Xtal 3.2, Reference Manual*, Univ. of Western Australia, Australia and Maryland, U.S.A. (1992).
- 5) Sheldrick, G. M., *SHELXS-86. Program for the Solution of Crystal Structures from diffraction Data*, Univ. of Göttingen, Germany (1986).
- 6) Sheldrick, G. M., *SHELXL-93. Program for the Refinement of Crystal Structure*, Univ. of Göttingen, Germany (1993).
- 7) Jonson, C. K., Burnet M. N. and L. J. Farugia, "ORTEP(III)", Department of Chemistry, Univ. of Glasgow. U.K. (1997).